

# 第3章 オシロスコープによる位相の測定

Measurement of Phase by Oscilloscope

## 3.1 目的

オシロスコープ画面に描かれたリサージュ图形 Lissajous figure により、任意の 2 つの正弦波電圧の位相差を測定する。あわせてオシロスコープの取扱方法を習得する。

## 3.2 理論

オシロスコープは電圧や電流の波形観察のほかに周波数や位相差を測定することができる。いま同一周波数で位相差が  $\varphi$  である 2 つの正弦波電圧

$$e_a = V_a \sin \omega t \quad e_b = V_b \sin(\omega t + \varphi) \quad (3.1)$$

をそれぞれ水平軸と垂直軸に加え、そのときの輝点の偏位を  $x$ 、 $y$  とすれば

$$x = KV_a \sin \omega t \quad y = KV_b \sin(\omega t + \varphi) \quad (3.2)$$

となる。ただし、K は感度を表わす比例定数である。したがってブラウン管面に現われるリサージュ图形は

$$\left(\frac{x}{V_a}\right)^2 - 2\frac{xy}{V_a V_b} \cos \varphi + \left(\frac{y}{V_b}\right)^2 = K^2 \sin^2 \varphi \quad (3.3)$$

で表わされ、一般にだ円形になり、図 3.1 のようになる。式 (3.3) において

(1)  $y = 0$  のときの  $x$  の値を  $x_1$  とすれば

$$\frac{x_1}{KV_a} = \sin \varphi \quad (3.4)$$

(2)  $x = 0$  のときの  $y$  の値を  $y_1$  とすれば

$$\frac{y_1}{KV_b} = \sin \varphi \quad (3.5)$$

となる。ここで式 (3.2) から  $KV_a$ 、 $KV_b$  はそれぞれ  $x$ 、 $y$  の最大値であるから、式 (3.4)、(3.5) に図 3.1 のリサージュ图形を適用すれば、2 つの正弦波電圧の位相差は次式から求まる。

$$\varphi = \sin^{-1}\left(\frac{B_1}{A_1}\right) = \sin^{-1}\left(\frac{B_2}{A_2}\right) \quad (3.6)$$

いま位相差  $\varphi$  と概略のリサージュ图形との関係を示せば、次のようにある。

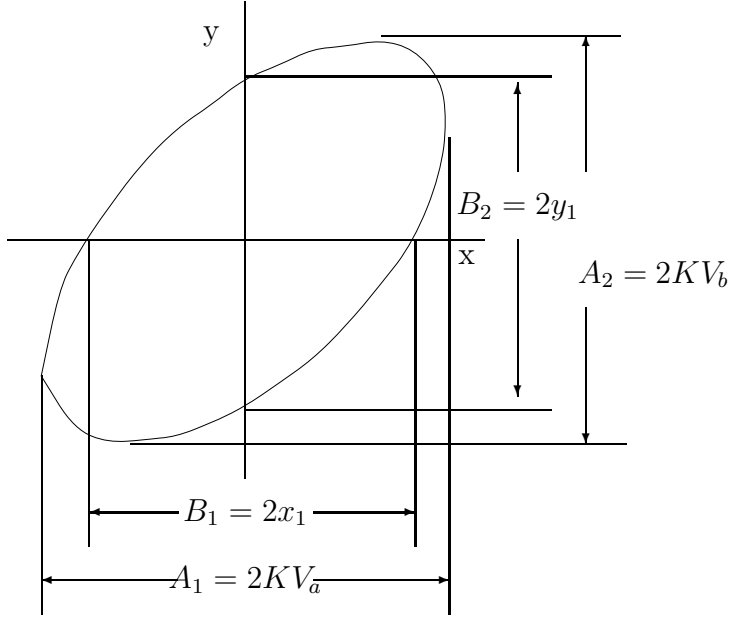


図 3.1: リサージュ図形

表 3.1: 位相とリサージュ図形の関係

| 位相差 $\varphi(^{\circ})$ | 0 | 45 | 90 | 135 | 180 |
|-------------------------|---|----|----|-----|-----|
| リサージュ<br>図形             |   |    |    |     |     |

### 3.3 方法

図 3.2 のようなツーロン回路 Toulon circuit を結線する。

#### 3.3.1 リサージュ図形による位相差の測定

図 3.2 のようなツーロン回路で大きさが等しく位相が異なる 2 つの電圧  $V_a$ 、 $V_b$  をそれぞれ水平軸と垂直軸に加え、抵抗  $R$  を変えて  $V_a$  と  $V_b$  との位相差を変えた場合のリサージュ図形を描き、図 3.1 に示す各部の寸法を測り、式 (3.6) から位相差  $\varphi$  を求める。

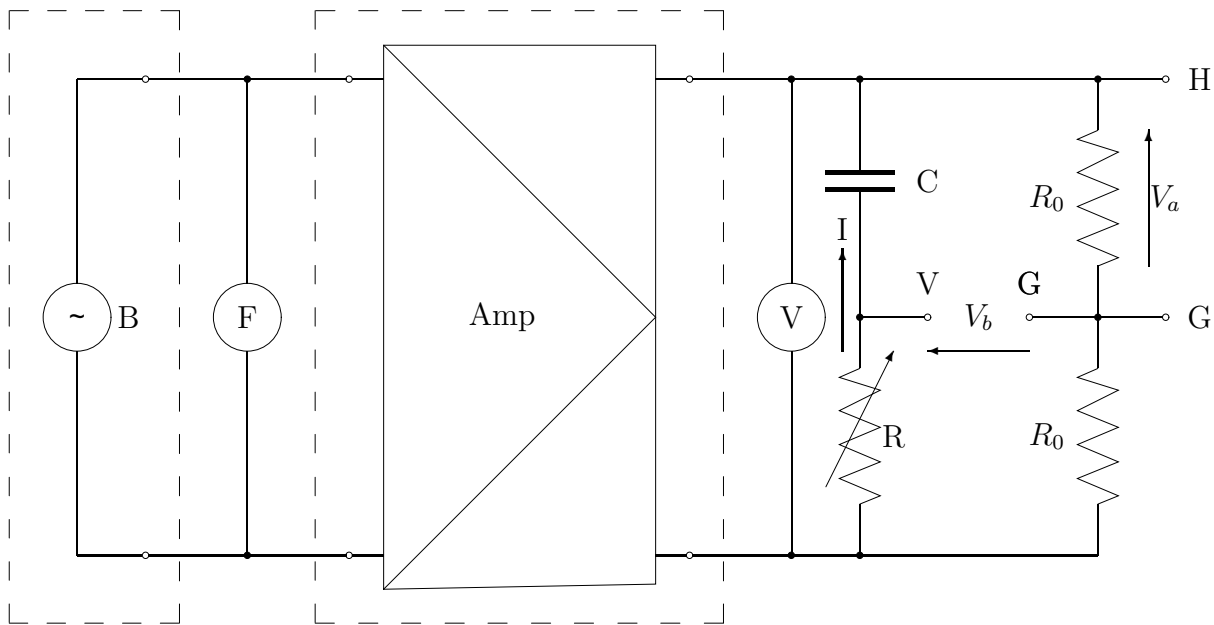


図 3.2: 位相測定の結線図 (ツーロン回路)

B : 低周波発振器

R : 可変抵抗

$R_0$  : 固定抵抗

C : コンデンサ

V : ディジタルマルチメータ

F : 周波数計

Amp : TAKASAGO POWER SUPPLY

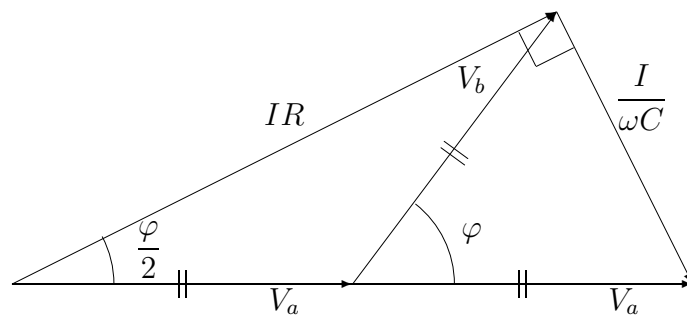


図 3.3: ツーロン回路のベクトル図

また図 3.2 のツーロン回路のベクトル図を描けば、図 3.3 のようである。このベクトル図から

$$\varphi = 2 \tan^{-1} \frac{1}{\omega C R} \quad (3.7)$$

となり、 $R = \infty$  のときは  $\varphi = 0$  となり、 $R = 0$  のときは  $\varphi = 180^\circ$  となって、 $R$  に対する  $\varphi$  の变化範囲は  $0 \sim 180^\circ$  である。式 (3.7) から位相差  $\varphi$  の計算値を求め、実測値と比較検討する。

### 3.3.2 ディジタルオシロスコープによる位相差の測定

2つの波形の時間差からの位相測定では、約45度と約135度の2箇所の値を測定する。このとき、位相を変化させる抵抗器Rの値は、第3.7.1項での測定と同じ値を用いる。ディジタルオシロスコープを用いた時間測定から位相を求める手順は次のようである。

1. 1個の波形(波形1)の1周期の時間を測定する。
2. 上記と異なる波形(波形2)の1周期の時間を測定する。
3. 波形1と波形2の周期が同じ値であることを確認する。
4. 波形1の電圧が正から負に変わる零ボルトの点の時間軸にcursor1を移動する。
5. 波形2の電圧が正から負に変わる零ボルトの点の時間軸にcursor2を移動する。
6. 波形1(cursor1)と波形2(cursor2)の時間差[X]を測定する。
7. 1周期の時間と2波の時間差から計算(式3.8参照)で位相を求める。

## 3.4 結果

### 3.4.1 リサージュ図形による位相差の測定結果

コンデンサ C( $\mu F$ )      周波数 f(Hz)

| 抵抗<br>$R(k\Omega)$ | リサージュ<br>図形 | 水平軸   |       |                     | 垂直軸   |       |                     | 位相差 $\varphi(^{\circ})$ |     |
|--------------------|-------------|-------|-------|---------------------|-------|-------|---------------------|-------------------------|-----|
|                    |             | $A_1$ | $B_1$ | $\varphi(^{\circ})$ | $A_2$ | $B_2$ | $\varphi(^{\circ})$ | 実測値                     | 計算値 |
|                    |             |       |       |                     |       |       |                     |                         |     |

抵抗Rを横軸にし、位相差 $\varphi$ を縦軸にして、実測値(平均値)と計算値の変化をグラフで示す。

### 3.4.2 ディジタルオシロスコープによる位相差の測定結果

時間レンジ、波形1の周期 $T_1$ 、波形2の周期 $T_2$ 、時間X1、時間X2、時間差X、位相差 $\varphi$ を表にまとめて報告する。

| 時間レンジ<br>(msec/div) | 波形1周期<br>$T_1$ (msec) | 波形2周期<br>$T_2$ (msec) | 時間1<br>X1(msec) | 時間2<br>X2(msec) | 時間差<br>X(msec) | 位相差<br>$\varphi(^{\circ})$ |
|---------------------|-----------------------|-----------------------|-----------------|-----------------|----------------|----------------------------|
|                     |                       |                       |                 |                 |                |                            |
| 平均 値                |                       |                       |                 |                 |                |                            |

## 3.5 注意

1. 抵抗Rの変化に対して位相差の変化が著しい部分は特に詳しく測定する。

- 式(3.7)から位相差 $\varphi$ を計算するとき $90^\circ \sim 180^\circ$ の範囲については注意を要する。このとき表3.1「位相とリサージュ图形の関係」を参考にすると良い。

## 3.6 問題

ツーロン回路の位相差を回路方程式より導け。

## 3.7 実験装置・規格

デジタルオシロスコープで位相を測定する方法について説明する。

[ ]で囲まれた文字は、操作するキーの名前を示し、操作パネル上のキーとソフトキーメニューの場合もある。

ソフトキーメニューの選択は、選択するキー名が液晶画面に表示され、表示画面の直ぐ下の横一列に並んだ7個のキーの何れかを押下する。

### 3.7.1 デジタルオシロスコープのリサージュ图形での位相測定

デジタルオシロスコープを用いたリサージュ图形での位相測定は次のようにある。

- 図3.2の低周波発振器の周波数は1kHzに設定する。
- 図3.2の抵抗Rは $100(\Omega)$  [0度付近]から $1(M\Omega)$  [180度付近]の範囲で測定する。
- 0度付近、90度付近、180度付近の位相とリサージュ图形は表3.1で確認する。
- 表3.1で45度と135度の位相のリサージュ图形は未記入であるから、実験の終了後にリサージュ图形を表に記入する。
- 指導書に従い位相 $\varphi$ は約22.5度間隔で約0度から約180度まで9点測定する。
- 位相 $\varphi$ に対応するA1とB1またはA2とB2の値を式3.6から電卓で求める。
- A1とB1またはA2とB2の値を持つ波形を抵抗Rで調整して求め、その時の抵抗Rの値、A1、B1、A2、B2を記録する。
- 実験が終了したときのデータチェックでは、式3.7の位相 $\varphi$ を1箇所の測定値について計算する。ただし、報告書では全ての位相を計算する。
- 報告書のグラフで抵抗Rを対数化し表示すると変化の様子が明らかになる。

### 3.7.2 デジタルオシロスコープで波形を表示

実験回路の接続を済ませ、デジタルオシロスコープで波形を表示する操作は次の手順となる。

- デジタルオシロスコープのch1とch2にプローブを接続する。
- 電源を入れ液晶画面が安定するのを待つ。
- [SETUP]を押下する。
- [Initialise]を押下する。

- [ Auto Setup ] を押下する。
- 上下に 2 つの sin 波形が表示される。

デジタルオシロスコープの操作中に画面表示が変わり、操作が解らなくなつた場合は、上記 3. の操作から再開すると良い。

### 3.7.3 デジタルオシロスコープでリサージュ波形の表示

デジタルオシロスコープに表示された 2 つの波形をリサージュ波形に表示する操作は次のようになる。

- [ Shift ] を押下する。
- [ X-Y ] を押下する。
- [ Mode X-Y ] を押下する。
- [ X-Y ] を押下する。

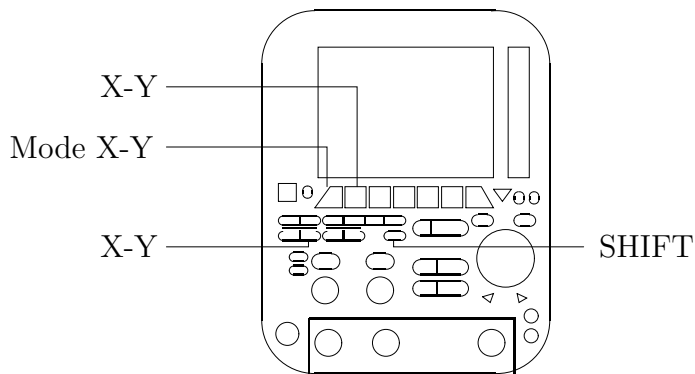


図 3.4: デジタルオシロスコープでリサージュ波形の表示

### 3.7.4 デジタルオシロスコープで波形の平均化

表示されたリサージュ波形は幅が拡がっている。この波形の幅を平均化する操作は次のようになる。

- [ ACQ ] を押下する。
- [ Mode Normal ] を押下する。
- [ Averag ] を押下する。

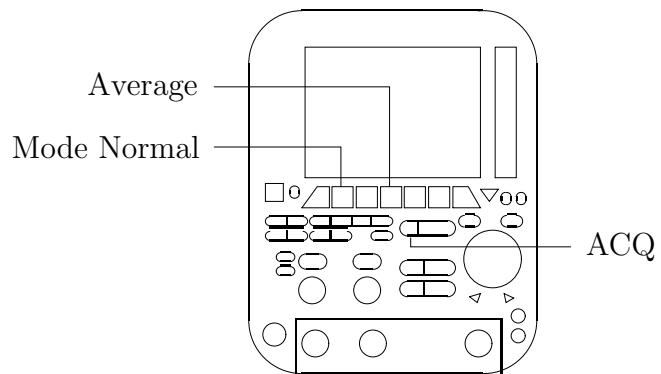


図 3.5: ディジタルオシロスコープで波形の平均化

この平均化の操作を行うと、波形が鮮明になり、A1 と B1、A2 と B2 の測定が行い易くなる。

### 3.7.5 波形 1 と波形 2 の時間差とディジタルオシロスコープの X1・X2・X の関係

波形 1 と波形 2 の時間差の測定においてディジタルオシロスコープで表示される X1・X2・X の関係は次ぎのようである。

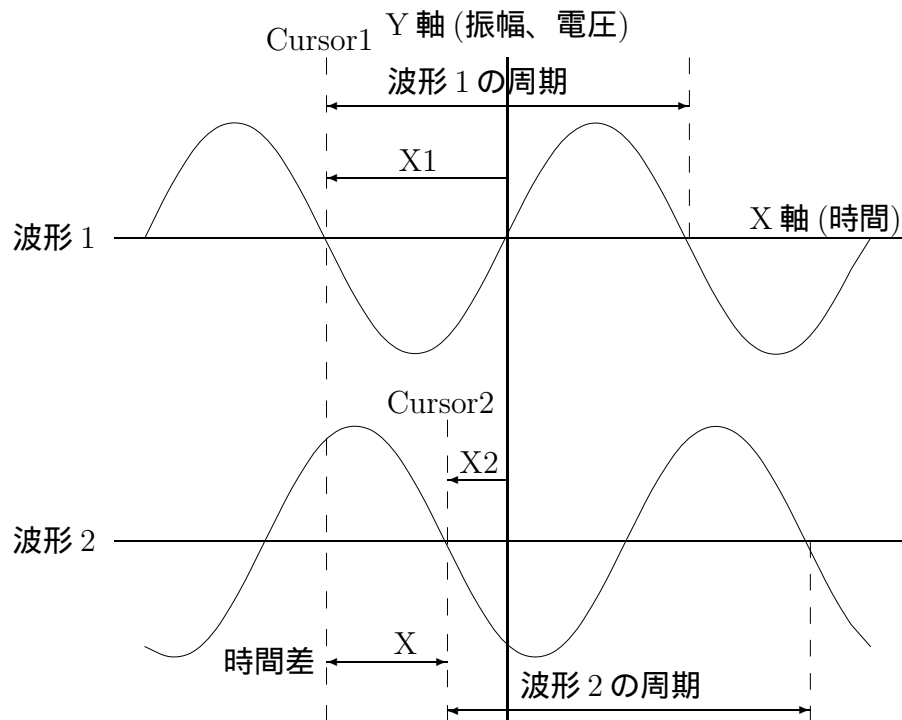


図 3.6: 波形 1 と波形 2 の時間差とディジタルオシロスコープの X1・X2・X の関係

波形 1 と波形 2 の時間差から位相  $\varphi$  は

$$\text{位相 } \varphi = \frac{\text{時間差}}{1 \text{ 周期時間}} \times 360 \quad (3.8)$$

で求まる。